

# УПРАВЛЕНИЕ ДИНАМИЧЕСКИМИ СИСТЕМАМИ И МОДЕЛИРОВАНИЕ СИСТЕМ

УДК 519.3:62–50

*Ж.Ш.Шариеналиев, Т.П.Самохвалова, Д.О.Макиенко*  
*Институт автоматизации и информационных технологий*  
*Национальной академии наук Кыргызской Республики, г.Бишкек*  
*avtomatika\_nankr@mail.ru, sam\_tp@mail.ru*

## АЛГОРИТМ УПРАВЛЕНИЯ С ПЕРИОДИЧЕСКИМ КОНТРОЛЕМ СОСТОЯНИЯ ОБЪЕКТА

Построен упрощенный алгоритм управления нелинейной системой с сосредоточенными параметрами с имитацией погрешностей в моменты контроля. Алгоритм основан на методе динамического программирования Р. Беллмана и методе характеристик.

Ключевые слова: оптимальное управление; стабилизация; метод характеристик; скачки величины управления.

**Введение.** В работах [1–3 и др.] разработаны аналитические методы решения дифференциальных уравнений с частными производными первого порядка. На основе этих методов в [4–5] получены приближенное решение уравнения Беллмана и построены алгоритмы управления с обратной связью одно- и двумерными линейными системами с сосредоточенными параметрами с явной зависимостью от коэффициентов управляемого объекта и минимизируемого критерия качества.

В данной работе эти алгоритмы применяются для стабилизации нагрева с излучением тепла. Уменьшены или устранены резкие скачки величины управления при периодическом измерении реального состояния одномерного динамического объекта.

### 1. Выбор параметра для устранения резких скачков величины управления

Математическую модель нагрева управляемого объекта с излучением тепла запишем в виде

$$\frac{dx(t)}{dt} = Ax(t) + Bp(t) - \gamma\sigma x^4(t), \quad x(0) = x_0, \quad t \in [0; t_k].$$

При отсутствии излучения ( $\gamma = 0$ ) модель нагрева линейная:

$$\frac{dx(t)}{dt} = Ax(t) + Bp(t), \quad x(0) = x_0, \quad t \in [0; t_k]. \quad (1.1)$$

В численных расчетах для удовлетворительного достижения заданного желаемого состояния  $g(t)$  объекта используем минимизацию квадратичного критерия качества

$$J = \gamma_1 \int_0^{t_k} (x(t) - g)^T Q(x(t) - g) dt + \gamma_2 (x(t_k) - g)^T F(x(t_k) - g) + \beta \int_0^{t_k} p^2(t) dt. \quad (1.2)$$

Здесь  $A, Q, F$  – известные  $n \times n$  матрицы,  $B, x$  – вектор-столбцы размерности  $n \times 1$ ;  $\gamma, \gamma_1, \gamma_2, \sigma, t_k, \beta$  – известные постоянные;  $p(t)$  – скалярная управляющая функция из множества допустимых управлений;  $(^T)$  – символ транспонирования.

**Задача 1.1.** Найти синтезирующее управление  $p(t, x(t))$  и соответствующее решение  $x(t)$  уравнения (1.1), минимизирующие критерий качества (1.2).

Задачу 1.1 решаем методом динамического программирования Р. Беллмана. Уравнение Беллмана с обращенным временем ( $t = t_k - \tau$ ,  $dt = -d\tau$ ) имеет вид

$$\frac{\partial S(t, x(t))}{\partial t} = (Ax)^T \frac{\partial S(t, x(t))}{\partial x} + \gamma_1(x - g)^T Q(x - g) - \frac{B^T B}{4\beta} \left( \frac{\partial S(t, x(t))}{\partial x} \right)^T \frac{\partial S(t, x(t))}{\partial x},$$

с условием

$$S(0, x) = \gamma_2(x(0) - g)^T F(x(0) - g).$$

Оптимальное синтезирующее управление равно

$$p^0(t, x(t)) = -\frac{1}{2\beta} B^T \frac{\partial S(t, x(t))}{\partial x}.$$

Линеаризованное уравнение Беллмана при  $n = 1$ ,  $a < 0$  запишем в виде

$$\frac{\partial S(t, x)}{\partial t} - ax \frac{\partial S(t, x)}{\partial x} = \left( \gamma_1 Q - \frac{b^2}{\beta} \gamma_2^2 F^2 \right) (x - g)^2, \quad S(0, x) = \gamma_2 F(x - g)^2$$

и применим методы [1–3]. Приближенное стабилизирующее управление, полученное по методу характеристик с линеаризацией уравнения Беллмана, имеет вид [4]

$$p(x(t)) = -\frac{b}{2a\beta} Mx(t) + \frac{bg}{a\beta} M, \quad M = \gamma_1 Q - \frac{b^2}{\beta} \gamma_2^2 F^2. \quad (1.3)$$

По технологическим требованиям часто достаточно, чтобы состояние объекта попадало в 5% зону от заданной желаемой величины  $g(t)$ .

Известно, что в численных расчетах на графиках часто возникает резкий скачок или «горб» величины управления в начале интервала времени. Для уменьшения величины скачка в [5] было предложено заданное состояние  $g(t)$  в критерии качества выбирать в виде экспоненты с асимптотой

$$\lim_{t \rightarrow \infty} g(t) \equiv konst.$$

Известно, что имеются расхождения в расчетном и измеренном состояниях объектов. В данной работе эти расхождения учтены с помощью моделирования. Введена функция  $h(t)$ , имитирующая погрешности модели и приборов измерения в моменты времени  $t_1$ ,  $t_2$ .

На рис. 1.1–1.4 приведены результаты расчетов нагрева по модели (1.1), (1.2) с управлением (1.3). Рассмотрены варианты  $g(t) \equiv 1150$ ,  $g(t) \equiv 830$ ,  $g(t) = a + be^{\alpha t}$ , где  $a, b, \alpha$  – заданные числа.

В примере 1.1 управление в первой точке равно 3039.9.

В примерах 1.2, 1.3 приведен выбор параметра  $\alpha$ . Показано, что максимальная величина (скачок) управления убывает от 2522.4 до 1537.1 при изменении параметра  $\alpha$  от  $\alpha = -15$  до  $\alpha = -5$ . При  $\alpha = -1$  скачок отсутствует.

В примере 1.4 приведен периодический контроль температуры с управлением без скачка с пересчетом функции  $g(t)$  в каждой точке измерения.

В примере 1.5 алгоритм управления линейной задачи с выбранным параметром  $\alpha = -1$  использован в нелинейной задаче.

Выбор параметра  $\alpha$  в функции  $g(t)$  позволяет уменьшить скачок и получить стабилизирующее управление без скачка на данном интервале времени. Управление без скачка переводит температуру в заданную зону и удерживает её в зоне.

Пример 1.1. Вариант  $g(t) \equiv 1150$ . Максимальная величина управления  $p_1(t)$  равна 3039.9. Стационарная величина управления равна 1537.1.

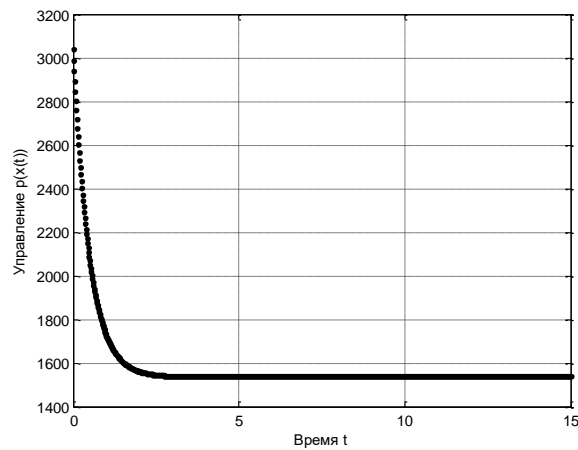


Рисунок 1.1. Управление  $p_1(t)$ ,  $g(t) \equiv 1150$

Пример 1.2. Вариант  $g(t) = a + be^{\alpha t}$ ,  $\lim_{t \rightarrow \infty} g(t) = 1150$ ,  $\alpha = -15$ . Максимальные величины управлений  $p_2(t)$ ,  $p_3(t)$ ,  $p_4(t)$  равны соответственно 2522.4; 2122.3; 1537.1. Стационарная величина управления равна 1537.1.

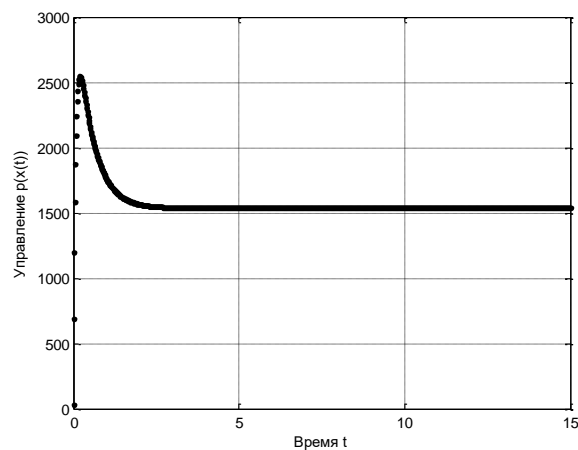


Рисунок 1.2. Управление  $p_2(t)$ ,  $g(t) = a + be^{\alpha t}$ ,  $\alpha = -15$

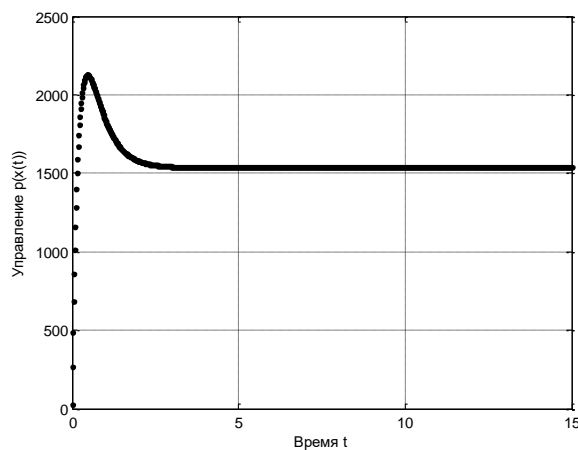


Рисунок 1.3. Управление  $p_3(t)$ ,  $g(t) = a + be^{\alpha t}$ ,  $\alpha = -5$

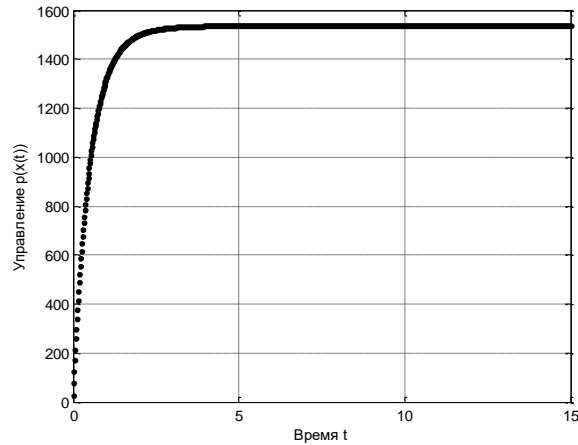


Рисунок 1.4. Управление  $p_4(t)$ ,  $g(t) = a + be^{\alpha t}$ ,  $\alpha = -1$

Пример 1.3. Вариант  $g(t) = a + be^{\alpha t}$ ,  $\lim_{t \rightarrow \infty} g(t) = 830$ . В таблице 1.1 приведены результаты выбора параметра  $\alpha$ .

Таблица 1.1 – Выбор  $\alpha$ . Метод характеристик, квазилинеаризация,  $n = 1$

N	$g(t)$	$\alpha$	Величина скачка управления	Управление на интерв. стационарности	Норма управления $\ u(t)\ $	Температура стальн. изделия	Время достиж. 5% зоны
1	$g(t) \equiv 830$	—	2186.6	1105.6	4453.4	830.2 830.7	3.7 4.5
2	Экспонента $g(t) = a + be^{\alpha t}$	-10	1750	1106	4414.1	831	5
3	Экспонента	-5	1500	1106	4381.2	831	4
4	Экспонента	-2	1230	1105.6	4296.3	830.4 830.7	5 6.3
5	Экспонента	-1.0625	Визуально без скачка	1105.6	4185.9	830.2 830.7	7 10
6	Экспонента	-1	По расчетам без скачка	1105.6	4171.7	830.1 830.7	7.7 10
7	—	—	—	$u(t) \equiv 1105.6$	4285.5	830.1 830.7	7 9.4
8	—	—	—	$u(t) \equiv 1106$	4287.1	831	9.4

Данные табл. 1.1 показывают, что при уменьшении скачка норма управления убывает от 4453.4 до 4171.7; время попадания в 5% зону возрастает с 3.7 до 7.7. Стационарная величина управления для линейной модели равна  $\bar{u} = 1105.6$ .

*Пример 1.4.* Моделирование периодического контроля температуры в моменты времени  $t_1, t_2$  с учетом погрешностей  $h(t)$ , вариант  $g(t) = a + be^{\alpha t}$ ,  $\lim_{t \rightarrow \infty} g(t) = 830$ ,  $\alpha = -1$ . На рисунках 1.5, 1.6 функция  $g(t)$  пересчитывается при измерении температуры в каждый момент времени  $t_1, t_2$ , отмечена тонкой линией. Скачки управления отсутствуют.

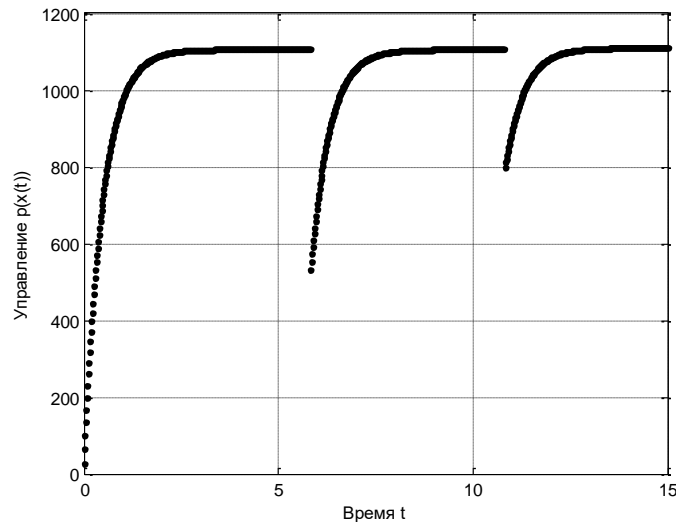


Рисунок 1.5. Управление при периодическом измерении, пересчет  $g(t)$

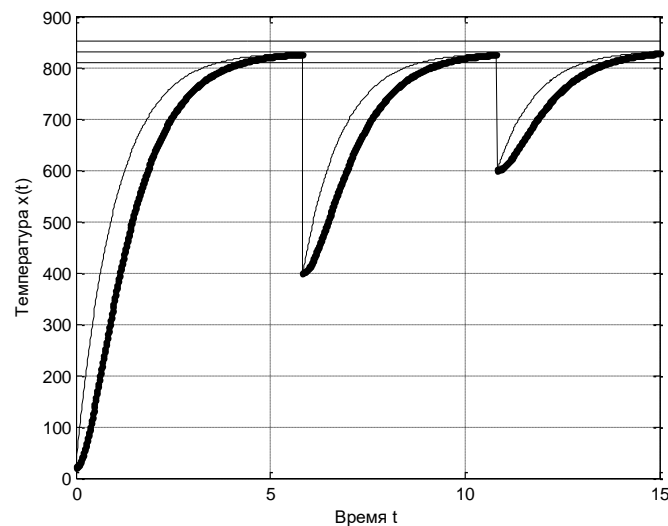


Рисунок 1.6. Температура при периодическом измерении, пересчет  $g(t)$

*Пример 1.5.* Нелинейная модель нагрева. Вариант  $g(t) = a + be^{\alpha t}$ ,  $\lim_{t \rightarrow \infty} g(t) = 830$ . Алгоритм управления (1.3), построенный для линейной модели (1.1), используем в нелинейной модели, когда излучение тепла присутствует ( $\gamma = 1$ ). Графики управления и температуры идентичны графикам на рисунках 1.1–1.6. Стационарная величина управления для нелинейной модели равна  $\bar{u} = 1106.6$ .

## 2. Двумерная задача

Рассмотрим две функции  $x_1(t)$ ,  $x_2(t)$  в линейном неоднородном уравнении в частных производных первого порядка с начальным условием

$$U_t(t, x_1, x_2) + a_1(t)x_1U_{x_1}(t, x_1, x_2) + a_2(t)x_2U_{x_2}(t, x_1, x_2) = f(x_1, x_2),$$

$$U(0, x_1, x_2) = \varphi(x_1, x_2). \quad (2.1)$$

Здесь  $a_1(t)$ ,  $a_2(t) \in C(0, t_k)$ . Следуем процедуре [2, 3] с некоторыми модификациями. Составим соответствующее (2.1) однородное уравнение

$$u_t(t, x_1, x_2) + a_1(t)x_1u_{x_1}(t, x_1, x_2) + a_2(t)x_2u_{x_2}(t, x_1, x_2) = 0, \quad u(0, x_1, x_2) = \varphi(x_1, x_2). \quad (2.2)$$

Обозначим  $P = 1$ ,  $Q_1 = a_1(t)x_1$ ,  $Q_2 = a_2(t)x_2$  и составим уравнения характеристик в параметрической форме:  $\frac{dt}{d\tau} = P$ ,  $\frac{dx_1}{d\tau} = Q_1$ ,  $\frac{dx_2}{d\tau} = Q_2$ . Запишем уравнения

$\frac{dx_1}{dt} = \frac{Q_1}{P}$ ,  $\frac{dx_2}{dt} = \frac{Q_2}{P}$  и решим их. Обозначим

$$y_1(t) = \int_0^t a_1(s)ds, \quad y_2(t) = \int_0^t a_2(s)ds,$$

получим  $x_1 = c_1e^{y_1(t)}$ ,  $x_2 = c_2e^{y_2(t)}$ , где  $c_1, c_2$  – постоянные интегрирования. Отсюда

$$c_1 = x_1e^{-y_1(t)}, \quad c_2 = x_2e^{-y_2(t)}.$$

Решение  $u(t, x_1, x_2)$  однородного уравнения (2.2) равно

$$u(t, x_1, x_2) = \varphi(c_1, c_2) = \varphi(x_1e^{-y_1(t)}, x_2e^{-y_2(t)}). \quad (2.3)$$

Далее построим уравнения относительно вспомогательных функций  $p_1(\tau, t, x_1)$ ,  $p_2(\tau, t, x_2)$  с соответствующими условиями:

$$p_{1\tau}(\tau, t, x_1) + a_1(\tau)x_1p_{1x_1}(\tau, t, x_1) = 0, \quad p_1(t, t, x_1) = x_1;$$

$$p_{2\tau}(\tau, t, x_2) + a_2(\tau)x_2p_{2x_2}(\tau, t, x_2) = 0, \quad p_2(t, t, x_2) = x_2. \quad (2.4)$$

Построим функции

$$p_1(\tau, t, x_1) = x_1e^{-y_1(t-\tau)}, \quad p_2(\tau, t, x_2) = x_2e^{-y_2(t-\tau)}. \quad (2.5)$$

Функции (2.5) являются решениями уравнений (2.4) и аргументами для построения решения  $U(t, x_1, x_2)$  неоднородного уравнения (2.1):

$$U(t, x_1, x_2) = \varphi(p_1(0, t, x_1), p_2(0, t, x_2)) + \int_0^t f(p_1(s, t, x_1), p_2(s, t, x_2))ds. \quad (2.6)$$

Из (2.5), (2.6) получаем решение  $U(t, x_1, x_2)$  неоднородного уравнения (2.1):

$$U(t, x_1, x_2) = \varphi(x_1e^{-y_1(t)}, x_2e^{-y_2(t)}) + \int_0^t f(x_1e^{-y_1(t-s)}, x_2e^{-y_2(t-s)})ds. \quad (2.7)$$

Формулы (2.3), (2.7) используем для приближенного решения задач синтеза оптимального управления в системах с сосредоточенными параметрами.

**Заключение.** Численные расчеты показали, что алгоритм управления на основе метода характеристик с квазилинеаризацией является работоспособным в рассмотренных примерах. Выбор параметра в желаемой траектории позволяет сгладить или устранить резкие скачки величины управления не только в начале интервала времени, но и в моменты периодического контроля состояния объекта. Норма управления уменьшается, время достижения заданной температуры несколько увеличивается.

### *Литература*

1. Гюнтер Н.М. Интегрирование уравнений в частных производных первого порядка. – Л.-М.: ОНТИ, 1934.
2. Иманалиев М.И. Нелинейные интегро-дифференциальные уравнения с частными производными. – Бишкек: Илим, 1992. – 112 с.
3. Иманалиев М.И., Алексеенко С.Н. // Доклады АН СССР. 1992. Т. 323. № 3. С. 410–414; 1992. Т. 325. № 6. С. 111–115; 1993. Т. 329. № 5. С. 543–546.
4. Самохвалова Т.П. Приближенное решение уравнения Беллмана / Материалы Международной научной конф. «Механика твердых, жидких и газообразных сред», посвящ. 80-летию д.ф.-м.н., проф. Я.И. Рудаева, 2–3 декабря 2016 // Вестник Кыргызско-Российского Славянского университета. – 2017. – Т. 17. № 1. – С. 52–54.
5. Шаршеналиев Ж.Ш., Самохвалова Т.П. Приближенные алгоритмы управления и стабилизации в системах с сосредоточенными и распределенными параметрами / Итоги науки. Том 2. Избранные труды Международного симпозиума по фундаментальным и прикладным проблемам науки. – М.: РАН, 2014. – С. 75–110.